Révision: 8178

Date: 28/12/2011 Page: 1/11

Clé: V3.04.007

Titre : SSLV07 - Etirement d'un parallélépipède sous son p[...]

Responsable : Josselin DELMAS

# SSLV07 - Étirement d'un parallélépipède sous son propre poids

#### Résumé:

Ce test statique 3D permet de valider les fonctionnalités suivantes :

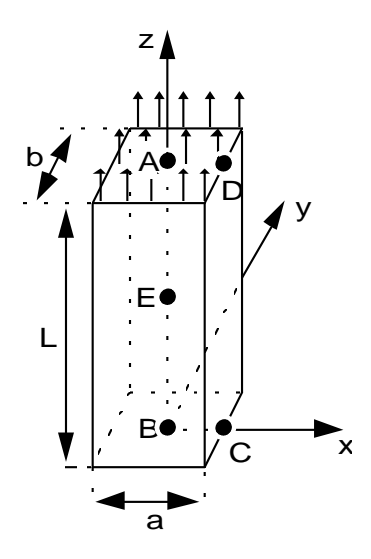
- chargement en poids propre (pesanteur ou force interne) et en pression uniforme,
- calcul de l'énergie potentielle de la structure,
- estimateur d'erreur en résidu (modélisation B)
- éléments incompressibles (modélisation D).

Il comprend 4 modélisations. Son intérêt réside dans la mise en évidence de l'effet du coefficient de Poisson (contraction transversale).

Date: 28/12/2011 Page: 2/11 Responsable: Josselin DELMAS Clé: V3.04.007 Révision: 8178

## Problème de référence

#### 1.1 Géométrie



Hauteur: L=3mLargeur: a=1mEpaisseur: b=1 m

Coordonnées des points (en mètres) :

|                | A  | B  | C   | D   | E   |
|----------------|----|----|-----|-----|-----|
| $\overline{x}$ | 0. | 0. | 0.5 | 0.5 | 0.  |
| $\overline{y}$ | 0. | 0. | 0.  | 0.  | 0.  |
| 7.             | 3. | 0. | 0.  | 3.  | 1.5 |

#### Propriétés de matériaux 1.2

$$E = 2 \, 10^{11} \, MPa$$

$$v = 0.3$$

$$\rho = 7 \ 800 \ kg/m^3$$

#### **Conditions aux limites et chargements** 1.3

Point 
$$A: (u=v=w=0, \theta_v=\theta_v=\theta_z=0)$$

Poids propre suivant l'axe z

Contrainte uniforme à la traction pour la face supérieure :  $\sigma_z = \rho g L = +229554$ . Pa

Date: 28/12/2011 Page: 3/11 Responsable : Josselin DELMAS Clé: V3.04.007 Révision: 8178

## Solution de référence

#### 2.1 Méthode de calcul utilisée pour la solution de référence

La solution de référence est celle donnée dans la fiche SSLV07/89 du guide VPCS qui présente la méthode de calcul de la façon suivante :

Déplacements :

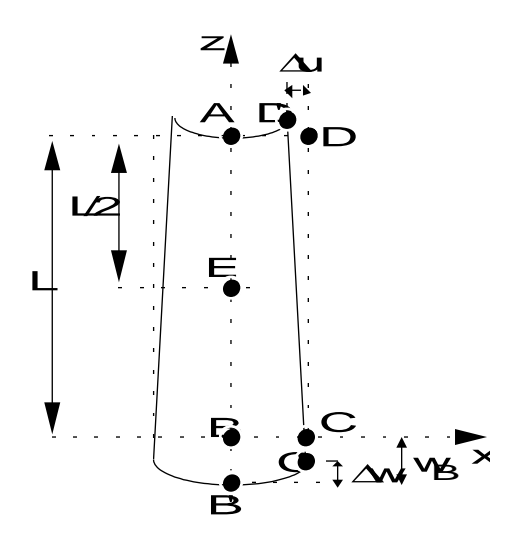
$$u = -\frac{v \rho g x z}{E}$$

$$v = -\frac{v \rho g y z}{E}$$

$$w = \frac{\rho g z^{2}}{2 E} + \frac{v \rho g}{2 E} (x^{2} + y^{2}) - \frac{\rho g L^{2}}{2 E}$$

Contraintes:

$$\sigma_{zz} = \rho g z$$
  
$$\sigma_{xx} = \sigma_{yy} = \sigma_{xy} = \sigma_{yz} = \sigma_{zx} = 0$$



#### 2.2 Résultats de référence

Déplacement des points  $\ B\ ,\ C\ ,\ D\$  et  $\ E\ .$ 

Contraintes  $\sigma_{zz}$  en A et E .

#### 2.3 Incertitude sur la solution

Solution analytique.

#### 2.4 Références bibliographiques

Date: 28/12/2011 Page: 4/11

Titre : SSLV07 - Etirement d'un parallélépipède sous son p[...]
Responsable : Josselin DELMAS

ponsable : Josselin DELMAS Clé : V3.04.007 Révision : 8178

1) S.P. TIMOSHENKO. Théorie de l'élasticité. Paris. Librairie Polytechnique. Ch. Béranger, p.279 à 282 (1961).

Révision: 8178

Date: 28/12/2011 Page: 5/11

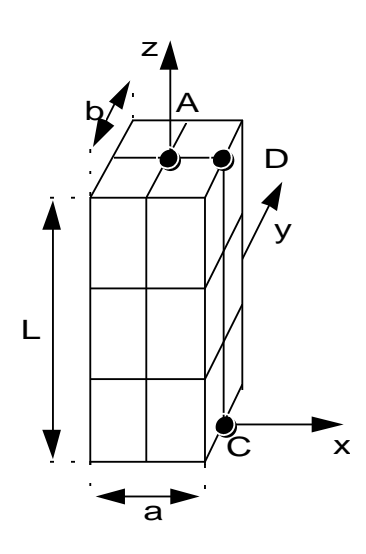
Titre : SSLV07 - Etirement d'un parallélépipède sous son p[...]

Responsable : Josselin DELMAS CIé : V3.04.007

## 3 Modélisation A

## 3.1 Caractéristiques de la modélisation

3D



Découpage : 3 en hauteur

2 en largeur et épaisseur

mailles hexa20

Conditions DX = DY = 0 sur AB, DY = 0 en D, DZ = 0 en A

limites:

Noms des nœuds : Point A = N59 Point B = N53

Point C = N12 Point D = N18

Point E = N56

## 3.2 Caractéristiques du maillage

Nombre de nœuds : 111

Nombre de mailles et types : 12 HEXA20

### 3.3 Grandeurs testées et résultats

| Localisation | Type de valeur $(m)$       | Référence                          |
|--------------|----------------------------|------------------------------------|
| Point B      | $U_{\scriptscriptstyle B}$ | 0.                                 |
|              | $V_{_B}$                   | 0.                                 |
|              | $W_{_B}$                   | –1.721655 10 <sup>–6</sup>         |
| Point C      | $U_{C}$                    | 0.                                 |
|              | $V_{C}$                    | 0.                                 |
|              | $W_{C}$                    | <b>−</b> 1.707308 10 <sup>−6</sup> |
| Point $D$    | $U_{\scriptscriptstyle D}$ | –1.721655 10 <sup>–7</sup>         |
|              | $V_{D}$                    | 0.                                 |
|              | $W_{D}$                    | 1.434713 10 <sup>-8</sup>          |

Manuel de validation

Titre : SSLV07 - Etirement d'un parallélépipède sous son p[...]

Responsable : Josselin DELMAS

Date : 28/12/2011 Page : 6/11

Clé : V3.04.007 Révision : 8178

| Point E   | $U_{\scriptscriptstyle E}$ | 0.                         |  |
|-----------|----------------------------|----------------------------|--|
|           | $V_{\scriptscriptstyle E}$ | 0.                         |  |
|           | $W_{\scriptscriptstyle E}$ | -1.291241 10 <sup>-6</sup> |  |
|           | (Pa)                       |                            |  |
| Point $A$ | $\sigma_{_{zz}}$           | 2.29554 10 <sup>5</sup>    |  |
| Point $E$ | $\sigma_{zz}$              | 1.14777 10 <sup>5</sup>    |  |

## 3.4 Remarques

La modélisation en HEXA20 est tout à fait acceptable pour ce maillage grossier. Cette modélisation permet également de tester la bonne prise en compte de l'application de la pesanteur à une liste de mailles ou de groupes de mailles ciblée.

Titre : SSLV07 - Etirement d'un parallélépipède sous son p[...] Date: 28/12/2011 Page: 7/11

Responsable: Josselin DELMAS Clé: V3.04.007 Révision: 8178

#### Modélisation B 4

#### 4.1 Caractéristiques de la modélisation

3D

Découpage : 12 en hauteur

8 en largeur et épaisseur

mailles HEXA8

Conditions DX = DY = 0 sur |AB|, DY = 0 en D, DZ = 0 en Alimites:

Noms des nœuds : Point A = N533Point B = N521Point C = N989Point D = N1001

Point E = N527

#### 4.2 Caractéristiques du maillage

Nombre de nœuds : 1053

Nombre de mailles et types : 768 HEXA8

#### 4.3 Remarques

Cette modélisation permet de tester l'estimateur d'erreur en résidu en 3D.

#### 4.4 Grandeurs testées et résultats

| Localisation | Type de valeur $(m)$             | Référence                  |  |
|--------------|----------------------------------|----------------------------|--|
| Point B      | $U_{\scriptscriptstyle B}$       | 0.                         |  |
|              | $V_{_B}$                         | 0.                         |  |
|              | $W_{\scriptscriptstyle B}$       | –1.721655 10 <sup>–6</sup> |  |
| Point C      | $U_{C}$                          | 0.                         |  |
|              | $V_{C}$                          | 0.                         |  |
|              | $W_{C}$                          | –1.707308 10 <sup>–6</sup> |  |
| Point $D$    | $U_{\scriptscriptstyle D}$       | –1.721655 10 <sup>–7</sup> |  |
|              | $V_{_D}$                         | 0.                         |  |
|              | $W_{_D}$                         | 1.434713 10 <sup>-8</sup>  |  |
| Point E      | $U_{\scriptscriptstyle E}$       | 0.                         |  |
|              | $V_{\scriptscriptstyle E}$       | 0.                         |  |
|              | $W_{\scriptscriptstyle E}$       | -1.291241 10 <sup>-6</sup> |  |
|              | (Pa)                             |                            |  |
| Point A      | $\sigma_{\scriptscriptstyle zz}$ | 2.29554 10 <sup>5</sup>    |  |
| HEX12        | erreur relative 1.15             |                            |  |
| HEX600       | erreur relative                  | 1.30                       |  |



Responsable : Josselin DELMAS

Version default Titre : SSLV07 - Etirement d'un parallélépipède sous son p[...] Date: 28/12/2011 Page: 8/11

#### 4.5 Remarques

Le maillage reste insuffisant pour une modélisation en HEXA8. L'erreur relative globale est faible (3%) mais dépasse 20% sur certaines mailles.

Clé: V3.04.007

Révision: 8178

Date: 28/12/2011 Page: 9/11 Responsable : Josselin DELMAS Clé: V3.04.007 Révision: 8178

#### Modélisation C 5

#### 5.1 Caractéristiques de la modélisation

3D

Découpage : 12 en hauteur

8 en largeur et épaisseur

mailles hexa8

Conditions DX = DY = 0 sur |AB|, DY = 0 en D, DZ = 0 en Alimites:

Noms des nœuds :

Point A = N533Point B = N521Point C = N989Point D = N1001

Point E = N527

#### 5.2 Caractéristiques du maillage

Nombre de nœuds : 1053

Nombre de mailles et types : 768 HEXA8

#### 5.3 Remarques

Cette modélisation permet de tester le mot-clé FORCE INTERNE dans AFFE CHAR MECA F.

#### 5.4 Grandeurs testées et résultats

| Localisation | Type de valeur $(m)$                  | Référence                  |  |
|--------------|---------------------------------------|----------------------------|--|
| Point B      | $\overline{U_{\scriptscriptstyle B}}$ | 0.                         |  |
|              | $V_{_B}$                              | 0.                         |  |
|              | $W_{_B}$                              | –1.721655 10 <sup>–6</sup> |  |
| Point C      | $U_{C}$                               | 0.                         |  |
|              | $V_{C}$                               | 0.                         |  |
|              | $\overline{W}_{C}$                    | –1.707308 10 <sup>–6</sup> |  |
| Point D      | $U_{\scriptscriptstyle D}$            | -1.721655 10 <sup>-7</sup> |  |
|              | $V_{D}$                               | 0.                         |  |
|              | $W_{_D}$                              | 1.434713 10 <sup>-8</sup>  |  |
| Point E      | $\overline{U}_{\scriptscriptstyle E}$ | 0.                         |  |
|              | $V_{\scriptscriptstyle E}$            | 0.                         |  |
|              | $\overline{W}_E$                      | -1.291241 10 <sup>-6</sup> |  |
|              | (Pa)                                  |                            |  |
| Point $A$    | $\sigma_{\scriptscriptstyle zz}$      | 2.29554 10 <sup>5</sup>    |  |

#### 5.5 Remarques

Le maillage reste insuffisant pour une modélisation en HEXA8.

Date: 28/12/2011 Page: 10/11 Responsable : Josselin DELMAS Clé: V3.04.007 Révision: 8178

#### Modélisation D 6

#### 6.1 Caractéristiques de la modélisation

3D

3 en hauteur Découpage :

2 en largeur et épaisseur

mailles hexa20

Conditions limites:

DX = DY = 0 sur |AB|, DY = 0 en D, DZ = 0 en A

Noms des nœuds : Point A = N59 Point B = N53

Point C = N12

Point D = N18

Point E = N56

#### 6.2 Caractéristiques du maillage

Nombre de nœuds : 111

Nombre de mailles et types : 12 HEXA20

#### Grandeurs testées et résultats 6.3

| Localisation | Type de valeur<br>(m)            | Référence                  |  |
|--------------|----------------------------------|----------------------------|--|
| Point B      | $U_{\scriptscriptstyle B}$       | 0.                         |  |
|              | $V_{_B}$                         | 0.                         |  |
|              | $W_{_B}$                         | –1.721655 10 <sup>–6</sup> |  |
| Point C      | $U_{C}$                          | 0.                         |  |
|              | $V_{C}$                          | 0.                         |  |
|              | $\overline{W}_{C}$               | –1.707308 10 <sup>–6</sup> |  |
| Point $D$    | $U_{\scriptscriptstyle D}$       | -1.721655 10 <sup>-7</sup> |  |
|              | $V_{D}$                          | 0.                         |  |
|              | $W_{_D}$                         | 1.434713 10 <sup>-8</sup>  |  |
| Point $E$    | $U_{\scriptscriptstyle E}$       | 0.                         |  |
|              | $V_{_E}$                         | 0.                         |  |
|              | $W_{\scriptscriptstyle E}$       | -1.291241 10 <sup>-6</sup> |  |
|              | (Pa)                             |                            |  |
| Point $A$    | $\sigma_{_{zz}}$                 | 2.29554 10 <sup>5</sup>    |  |
| Point $E$    | $\sigma_{\scriptscriptstyle zz}$ | 1.14777 10 <sup>5</sup>    |  |

#### 6.4 Remarques

Les éléments incompressibles HEXA20 donnent les mêmes résultats que les éléments standards.

Date: 28/12/2011 Page: 11/11 Responsable : Josselin DELMAS Clé: V3.04.007 Révision: 8178

## Synthèse des résultats

| Type de valeur $(m)$                  | Référence                  | Aster<br>Hexa20 | Aster<br>Hexa8 |
|---------------------------------------|----------------------------|-----------------|----------------|
|                                       | •                          | (A)             | (B)            |
| $U_{\scriptscriptstyle B}$            | 0.                         |                 |                |
| $V_{_B}$                              | 0.                         |                 |                |
| $W_B$                                 | −1.721655 10 <sup>−6</sup> | < 0.1%          | < 0.1%         |
| $U_{C}$                               | 0.                         |                 | X              |
| $V_{C}$                               | 0.                         |                 |                |
| $\overline{W}_{C}$                    | –1.707308 10 <sup>–6</sup> | < 0.1%          | 0.1%           |
| $U_{D}$                               | –1.721655 10 <sup>–7</sup> | < 0.1%          | -2.2%          |
| $V_{D}$                               | 0.                         |                 |                |
| $\overline{W}_D$                      | 1.434713 10 <sup>-8</sup>  | -0.2%           | -15.5%         |
| $\overline{U_{\scriptscriptstyle E}}$ | 0.                         |                 |                |
| $V_{_E}$                              | 0.                         |                 |                |
| $\overline{W}_E$                      | –1.291241 10 <sup>–6</sup> | < 0.1%          | < 0.1%         |
| (Pa)                                  |                            |                 |                |
| $A \sigma_{zz}$                       | 2.29554 10 <sup>5</sup>    | < 0.1%          | -5.3%          |
| $E \sigma_{zz}$                       | 1.14777 10 <sup>5</sup>    | < 0.1%          | < 0.1%         |

Modélisation: A (HEXA20 découpage : 3 en Z, 2 en X et Y)

B (HEXA8 découpage : 12 en Z, 8 en X et Y)

La modélisation en HEXA8 nécessiterait un maillage beaucoup plus fin.